







为空检查公式的可满足性.该工具以 APTL 公式作为输入,格式为文本文件.在该文件中,公式的各操作符的表示方法如下:!表示¬,|和&分别表示∨和∧,( )表示○,⟨⟩表示◇,[]表示□,⟨⟨⟩⟩表示⟨⟨⟩⟩.例如,公式  $\bigcirc_{\langle\langle A \rangle\rangle} P \wedge \bigtriangleleft_{\langle\langle B \rangle\rangle} \neg Q$  表示为  $(\langle\langle A \rangle\rangle P \& \langle\langle\langle B \rangle\rangle \neg Q)$ .

检查 APTL 公式  $\phi$  的可满足性的具体过程是:

- 首先,对输入的公式  $\phi$  进行词法分析,词法无误则构造语法树,对公式进行预处理;
- 然后,构造公式的 LNFG,构造过程需要不断的调用范式转化模块将产生的新节点转化为范式,并据此生成新的节点和边,直到所有的节点表示的子公式均已被处理;
- 接着,将 LNFG 转化为 GBCG;
- 最后,将 GBCG 转化为 BCG 并化简,接着检查最简 BCG 是否为空:如果 BCG 为空,则公式  $\phi$  不可满足;反之亦然.

在检查公式的可满足性时,将公式以文本形式输入,在检查过程中输出描述 LNFG,GBCG 和 BCG 的文本文档,文本格式是工具 Graphviz 的输入文本的格式,调用 Graphviz 工具可将 LNFG,GBCG 和 BCG 的图输出,最后输出公式的可满足性.

### 2.2 语法树构造

在构造 BCG 的过程中,针对节点和边的操作都是在语法树的概念上进行的,CTreeNode(NODETYPE ptype, int typeofAgentset, string agentstr, string pstr, int istr, CTreeNode \*s<sub>1</sub>, CTreeNode \*s<sub>2</sub>, CTreeNode \*s<sub>3</sub>)表示树节点,其中,ptype 为节点类型,如节点类型为 CHOP,则以该节点为根的子树表示的是 chop 类型的公式;节点类型为 PROJECTION,则以该节点为根的子树表示的是 prj 类型的公式,等等.typeofAgentset 表示代理集合的类型,其中:1 代表⟨⟨⟩,⟨A⟩表示无论其他代理采取什么策略,集合 A 中的代理总能使得公式成立;2 代表[],[A]表示集合 A 中的代理无论采取什么策略都不能使公式不成立.agentstr 表示代理的字符串,pstr 是该节点的字符串,istr 为该节点的整数, s<sub>1</sub>,s<sub>2</sub>,s<sub>3</sub> 分别为该节点的 3 个孩子节点.没有孩子节点的节点表示为 CTreeNode(NODETYPE ptype, int typeofAgentset, string agentstr, string pstr, int istr),如果树节点有一个孩子节点那么 s<sub>2</sub> 和 s<sub>3</sub> 为空,类似的有两个孩子节点的树节点的 s<sub>3</sub> 为空.部分 APTL 公式的语法树结构如图 4 所示.

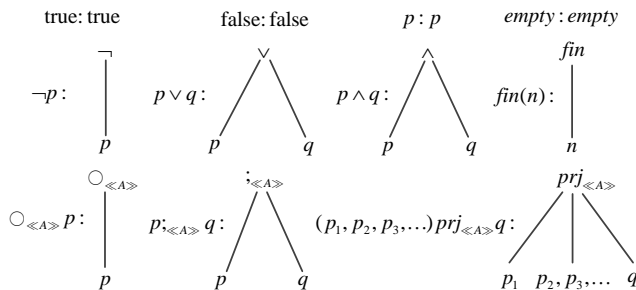


Fig.4 Syntax trees of APTL formulas

图 4 APTL 公式的语法树

由图 4 可以看出,语法树的根节点能够表示相应的公式类型.true,false,empty,skip 以及原子命题的语法树均不含孩子节点.公式  $\neg p, fin(n), len(n)$  的语法树均含有一个孩子节点,分别为  $p, n, n$ .在公式  $p \vee q$  (或  $p \wedge q$ ) 的语法树中,左右孩子节点分别对应公式的左右析取项(或合取项).  $\bigcirc_{\langle\langle A \rangle\rangle} p, \bigtriangleleft_{\langle\langle A \rangle\rangle} p$  和  $\square_{\langle\langle A \rangle\rangle} p$  的语法树的根节点均表示节点的类型和代理集合,而且均只有一个孩子节点  $p$ .公式  $p;_{\langle\langle A \rangle\rangle} q$  的语法树的左右孩子分别为  $p$  和  $q$ .公式  $(p_1, p_2, p_3, \dots) prj_{\langle\langle A \rangle\rangle} q$  的语法树有 3 个孩子节点,分别对应  $p_1, p_2, p_3, \dots$  和  $q$ .

### 2.3 公式的预处理

由于输入的 APTL 公式本身可能存在冗余的情况,因此要先经过预处理过程对输入的合法的 APTL 公式进

行等价化简.预处理函数的伪代码如函数  $PRE(CtreeNode *ptree)$ 所示,对公式的预处理过程是在语法树上进行的.其中,输入的是待处理公式的语法树,输出化简后的公式的语法树.

## 2.4 BCG构造

任意一个合法的 APTL 公式都可以构造相应的 BCG.首先,根据文献[1]中的算法,实现了将 APTL 公式转化为 LNFG 的过程,并将 LNFG 转化为相应的 GBCG;然后,将 GBCG 转化为对应的 BCG.

```

void PRE(CtreeNode *ptree){
  if (ptree==NULL) return;
  switch(ptree){
  case  $P \rightarrow Q$ 
    ptree  $\leftarrow \neg P \vee Q$ ;
  case  $P \leftrightarrow Q$ 
    ptree  $\leftarrow \neg P \wedge \neg Q \vee P \wedge Q$ ;
  case  $\neg \neg P$ 
    ptree  $\leftarrow P$ ;
  case skip
    ptree  $\leftarrow \bigcirc_{\langle \emptyset \rangle} \varepsilon$ ;
  case  $\neg \varepsilon$ 
    ptree  $\leftarrow \bigcirc_{\langle \emptyset \rangle} \text{true}$ ;
  case  $len(n)$ 
    ptree  $\leftarrow \bigcirc_{\langle \emptyset \rangle}^n \varepsilon$ ;
  case  $\diamond_{\langle A \rangle} P$ 
    ptree  $\leftarrow \text{true}_{\langle A \rangle} P$ ;
  case  $P \wedge Q$ 
    if  $P == \text{true}$ 
      ptree  $\leftarrow Q$ ;
    ...
    if  $P == \varepsilon \wedge Q == \bigcirc_{\langle A \rangle} Q'$ 
      ptree  $\leftarrow \text{false}$ ;
  case  $P \vee Q$ 
    if  $P == Q$ 
      ptree  $\leftarrow P$ ;
    if  $P == \text{true} \vee Q == \text{true}$ 
      ptree  $\leftarrow \text{true}$ ;
    ...
    if  $Q == \text{false}$ 
      ptree  $\leftarrow P$ ;
    ...
  }
}

```

构造 LNFG 模块通过循环调用函数 NF 来构造公式的 LNFG.函数  $NF(CtreeNode *ptree)$ 将 APTL 公式转化为范式,其中输入的是 APTL 公式的语法树,得到 APTL 公式的范式的语法树.构造 APTL 公式的范式图的函数为  $LNFG(CtreeNode *ptree, CGraph *pgraph)$ ,其中,ptree 为公式的范式的语法树,pgraph 为生成的 LNFG.

给定一个 LNFG  $G=(Q,q_0,\mathcal{A},\delta,\varepsilon,\mathbb{L}=\{\mathbb{L}_1,\dots,\mathbb{L}_m\})$  存在一个 GBCG  $GB=(Q',q'_0,\mathcal{A}',\delta',F=\{F_1,\dots,F_n\})$  与之相对应.其中,  $Q'=Q,q'_0=q_0,\mathcal{A}'=\mathcal{A},\delta'=\delta\cup\delta(d,\varepsilon)=\langle\langle\emptyset\rangle\rangle,d,F=\{\tilde{\mathbb{L}}_1,\dots,\tilde{\mathbb{L}}_m\}$ .

任意一个 GBCG  $GB=(\mathcal{P},\mathcal{A},Q,q_0,\delta,F=\{F_1,\dots,F_n\})$  都可以转化为一个 BCG  $B=(\mathcal{P},\mathcal{A},Q',q'_0,\delta',F')$ , 根据文献 [11] 中的方法, 实现了将 GBCG 转化为 BCG 的过程. 如果  $GB$  的接收集合  $F$  中只有一个接收状态子集, 也就是说,  $F=\{F_1\}$ , 则无需转换, 该 GBCG 即为 BCG, 那么对应的 BCG 的接收集合为  $F'=F_1$ . 如果  $n\geq 2$ , 将  $GB$  的状态复制  $n$  遍, 第  $i$  个  $GB$  中的非接收状态与第  $i$  个  $GB$  中的相应状态相连接, 第  $i$  个  $GB$  的  $F_i$  的状态与第  $i+1$  个  $GB$  中相应的状态相连接. 得到的  $B$  的接收集合  $F$  中的状态是第 1 个  $GB$  中的接收集合的  $F_1$  中的状态.  $B$  的接收条件是  $F$  中的一个状态无穷次的出现, 根据该 BCG  $B$  的构造过程, 能推出所有的接收状态集  $F_i$  都能够被无穷次地访问到.

将一个 GBCG  $GB=(\mathcal{P},\mathcal{A},Q,q_0,\delta,F=\{F_1,\dots,F_n\})$  转化为 BCG  $B=(\mathcal{P},\mathcal{A},Q',q'_0,\delta',F')$  的伪代码如下所示.

```
void BCG(CGGraph *GBCG, CGGraph *BCG){
```

```
  Q' ← Q × {1, ..., n};
```

```
  q'_0 ← ⟨q_0, 1⟩;
```

```
  F' ← {⟨q_F, 1⟩ | q_F ∈ F_1};
```

```
  if q ∉ F_i
```

```
    δ(⟨q, i⟩, p, A') ← {⟨q', i⟩ | q' ∈ δ(q, p, A')};
```

```
  else if q ∈ F_i
```

```
    δ(⟨q, i⟩, p, A') ← {⟨q', i+1⟩ | q' ∈ δ(q, p, A')};
```

```
}
```

例子: 通过构造公式  $p; \langle\langle a \rangle\rangle \square \langle\langle a \rangle\rangle q; \langle\langle b \rangle\rangle \square \langle\langle b \rangle\rangle r$  的 BCG 过程, 讲解给定一个 APTL 公式构造 BCG 的具体细节.

以下是构造公式  $p; \langle\langle a \rangle\rangle \square \langle\langle a \rangle\rangle q; \langle\langle b \rangle\rangle \square \langle\langle b \rangle\rangle r$  的 LNFG 的过程.

首先, 我们将公式写为  $p \wedge \text{fin}(l_1); \langle\langle a \rangle\rangle \square \langle\langle a \rangle\rangle q; \langle\langle b \rangle\rangle \square \langle\langle b \rangle\rangle r$  并转化为范式;

$$p \wedge \text{fin}(l_1); \langle\langle a \rangle\rangle \square \langle\langle a \rangle\rangle q; \langle\langle b \rangle\rangle \square \langle\langle b \rangle\rangle r \equiv p \wedge q \wedge r \wedge l_1 \wedge \varepsilon \vee p \wedge q \wedge r \wedge l_1 \wedge \bigcirc_{\langle\langle b \rangle\rangle} \square \langle\langle b \rangle\rangle r \vee p \wedge l_1 \wedge q \wedge \bigcirc_{\langle\langle a \rangle\rangle} (\square \langle\langle a \rangle\rangle q; \langle\langle b \rangle\rangle \square \langle\langle b \rangle\rangle r) \vee p \wedge \bigcirc_{\langle\langle \emptyset \rangle\rangle} (\text{fin}(l_1); \langle\langle a \rangle\rangle \square \langle\langle a \rangle\rangle q; \langle\langle b \rangle\rangle \square \langle\langle b \rangle\rangle r);$$

接着, 将新生成的 APTL 公式  $\square \langle\langle b \rangle\rangle r, \square \langle\langle a \rangle\rangle q; \langle\langle b \rangle\rangle \square \langle\langle b \rangle\rangle r$  和  $\text{fin}(l_1); \langle\langle a \rangle\rangle \square \langle\langle a \rangle\rangle q; \langle\langle b \rangle\rangle \square \langle\langle b \rangle\rangle r$  转化为范式;

$$\square \langle\langle b \rangle\rangle r \equiv r \wedge \varepsilon \vee r \wedge \bigcirc_{\langle\langle b \rangle\rangle} \square \langle\langle b \rangle\rangle r$$

$$\square \langle\langle a \rangle\rangle q \wedge \text{fin}(l_2); \langle\langle b \rangle\rangle \square \langle\langle b \rangle\rangle r \equiv q \wedge r \wedge l_2 \wedge \varepsilon \vee q \wedge r \wedge l_2 \wedge \bigcirc_{\langle\langle b \rangle\rangle} \square \langle\langle b \rangle\rangle r \vee q \wedge \bigcirc_{\langle\langle a \rangle\rangle} (\square \langle\langle a \rangle\rangle q; \langle\langle b \rangle\rangle \square \langle\langle b \rangle\rangle r) \wedge q \wedge \bigcirc_{\langle\langle \emptyset \rangle\rangle} (\text{fin}(l_2); \langle\langle b \rangle\rangle \square \langle\langle b \rangle\rangle r)$$

$$\text{fin}(l_1); \langle\langle a \rangle\rangle \square \langle\langle a \rangle\rangle q; \langle\langle b \rangle\rangle \square \langle\langle b \rangle\rangle r \equiv q \wedge r \wedge l_1 \wedge \varepsilon \vee q \wedge r \wedge l_1 \wedge \bigcirc_{\langle\langle b \rangle\rangle} \square \langle\langle b \rangle\rangle r \vee q \wedge l_1 \wedge \bigcirc_{\langle\langle a \rangle\rangle} (\square \langle\langle a \rangle\rangle q; \langle\langle b \rangle\rangle \square \langle\langle b \rangle\rangle r) \vee \bigcirc_{\langle\langle \emptyset \rangle\rangle} (\text{fin}(l_1); \langle\langle a \rangle\rangle \square \langle\langle a \rangle\rangle q; \langle\langle b \rangle\rangle \square \langle\langle b \rangle\rangle r);$$

然后, 将生成的新的 APTL 公式  $\text{fin}(l_2); \langle\langle b \rangle\rangle \square \langle\langle b \rangle\rangle r$  转化为范式;

$$\text{fin}(l_2); \langle\langle b \rangle\rangle \square \langle\langle b \rangle\rangle r \equiv l_2 \wedge r \wedge \varepsilon \vee l_2 \wedge r \wedge \bigcirc_{\langle\langle b \rangle\rangle} \square \langle\langle b \rangle\rangle r \vee \bigcirc_{\langle\langle \emptyset \rangle\rangle} (\text{fin}(l_2); \langle\langle b \rangle\rangle \square \langle\langle b \rangle\rangle r);$$

最后, 根据公式的 NF 构造 LNFG.

公式  $p; \langle\langle a \rangle\rangle \square \langle\langle a \rangle\rangle q; \langle\langle b \rangle\rangle \square \langle\langle b \rangle\rangle r$  的 LNFG 如图 5 所示.

节点 1 表示公式  $p \wedge \text{fin}(l_1); \langle\langle a \rangle\rangle \square \langle\langle a \rangle\rangle q; \langle\langle b \rangle\rangle \square \langle\langle a \rangle\rangle r$ ;

节点 2 表示  $\square \langle\langle b \rangle\rangle r$ ;

节点 3 表示  $\square \langle\langle a \rangle\rangle q \wedge \text{fin}(l_2); \langle\langle b \rangle\rangle \square \langle\langle b \rangle\rangle r$ ;

节点 4 表示  $\text{fin}(l_1); \langle\langle a \rangle\rangle \square \langle\langle a \rangle\rangle q; \langle\langle b \rangle\rangle \square \langle\langle b \rangle\rangle r$ ;

节点 5 表示  $\text{fin}(l_2); \langle\langle b \rangle\rangle \square \langle\langle b \rangle\rangle r$ ;

节点 6 表示 empty.

将图 5 中的 LNFG 转化为 GBCG, 如图 6 所示. 其中, 节点 1 为初始节点, 节点 1、节点 4 标记有  $l_1$ , 节点 3、节点 5 标记有  $l_2$ , 接收集合为  $F=\{F_1=\{2,3,5,6\}, F_2=\{1,2,4,6\}\}$ .

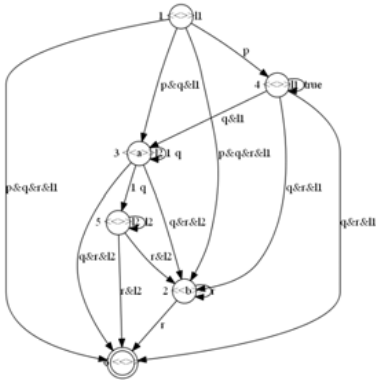


Fig.5 LNFG of formula  $p: \langle a \rangle \square \langle a \rangle q: \langle b \rangle \square \langle b \rangle r$   
图 5 公式  $p: \langle a \rangle \square \langle a \rangle q: \langle b \rangle \square \langle b \rangle r$  的 LNFG

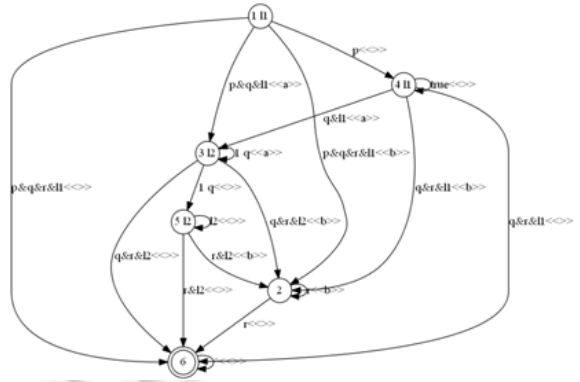


Fig.6 GBCG of formula  $p: \langle a \rangle \square \langle a \rangle q: \langle b \rangle \square \langle b \rangle r$   
图 6 公式  $p: \langle a \rangle \square \langle a \rangle q: \langle b \rangle \square \langle b \rangle r$  的 GBCG

将图 6 的 GBCG 转化为 BCG 如图 7 所示,其中,状态(1,1)为初始状态,接收集合为  $F = \{(2,1), (3,1), (5,1), (6,1)\}$ .

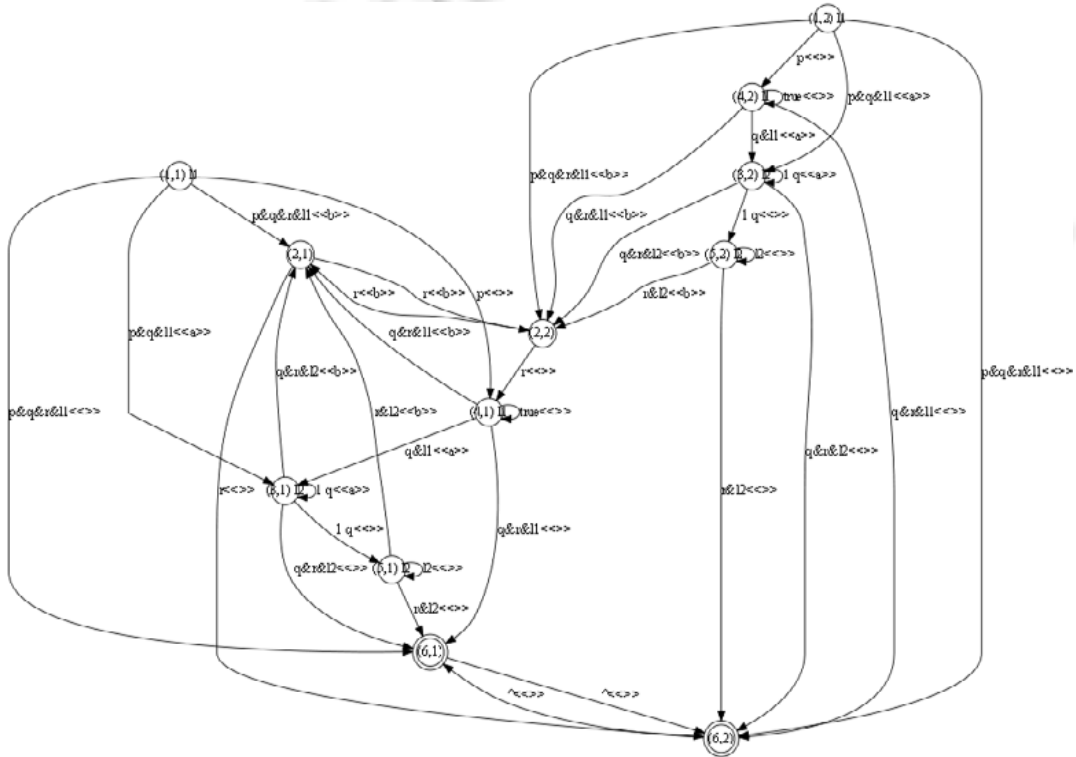


Fig.7 BCG of formula  $p: \langle a \rangle \square \langle a \rangle q: \langle b \rangle \square \langle b \rangle r$   
图 7 公式  $p: \langle a \rangle \square \langle a \rangle q: \langle b \rangle \square \langle b \rangle r$  的 BCG

### 2.5 BCG的化简及检查

为了检查 APTL 公式的可满足性,必须将得到的 BCG 进行化简,因此,我们给出了化简 BCG 的算法 *SIMPLIFY*.对于一个 BCG,可能存在没有后继节点的节点或者存在没有出边的非接收状态节点,这些多余的节点和边应该被删除.由于交替自动机中存在一些全局的迁移关系,也就是说存在从同一个节点出发的多条边应同时满足相应的性质,所以做完以上删除操作后,可能会产生非初始节点入度为 0 的节点,这些节点也应该被删

除,具体过程如下.

*SIMPLIFY(B)*.

输入: APTL 公式  $\phi$  的 BCG  $B=(\mathcal{P}, \mathcal{A}, Q, q_0, \delta, F)$ ;

输出: *SIMPLIFY(B)* 计算出一个  $\phi$  的最简 BCG  $B'=(\mathcal{P}', \mathcal{A}', Q', q'_0, \delta', F')$ .

$B'=B$ ;

**while**  $\exists q \in Q'$  且节点  $q$  没有出边或者  $q$  为非接收节点且没有出边从  $q$  节点到其他节点

**do**  $Q'=Q' \setminus q$ ;

$\delta' = \delta' \setminus \bigcup_i (q_i, p_i, A_i, q)$ ; /\*  $\bigcup_i (q_i, p_i, A_i, q)$  表示节点  $q_i$  到节点  $q$  的连边集合\*/

**for each**  $i$

$\delta' = \delta' \setminus \bigcup_j (q_i, p_i, A_j, r_j)$ ;

/\*  $\bigcup_j (q_i, p_i, A_j, r_j)$  表示边的集合,在 APTL 公式的范式中,存在  $p_i \wedge \langle \langle A_j \rangle \rangle R_{q_i} \wedge \langle \langle A_j \rangle \rangle R_{r_j}$ , 其中,节点  $q_i$  和  $r_j$  分别由公式  $R_{q_i}$  和  $R_{r_j}$  标记\*/

**if**  $q \in F'$  **then**

$F'=F' \setminus q$ ;

)

**end while**

**while**  $\exists q \in Q'$  并且  $q$  不是初始节点,入度为 0

**do**  $Q'=Q' \setminus q$ ;

$\delta' = \delta' \setminus \bigcup_i \bigcup_j (q, p_i, A_j, r_j)$ ; /\*  $\bigcup_i \bigcup_j (q, p_i, A_j, r_j)$  为连接节点  $q$  的边\*/

)

**end while**

**return**  $B'$ ;

将图 7 中的 BCG 化简得到最简 BCG,如图 8 所示,其中接收集合为  $F=\{(2,1),(3,1),(5,1),(6,1)\}$ .

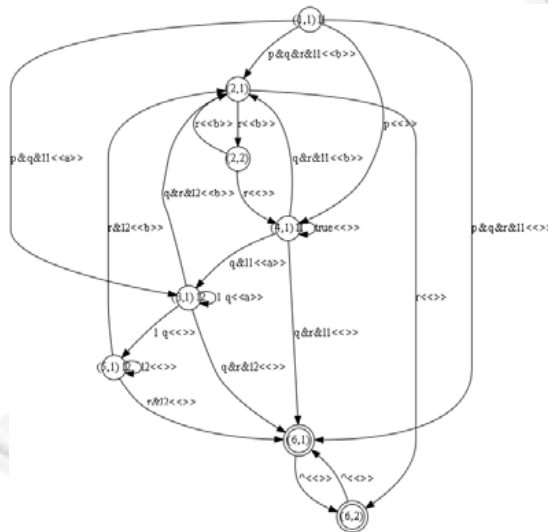


Fig.8 BCG of formula  $p; \langle \langle a \rangle \rangle \square \langle \langle a \rangle \rangle q; \langle \langle b \rangle \rangle \square \langle \langle b \rangle \rangle r$

图 8 公式  $p; \langle \langle a \rangle \rangle \square \langle \langle a \rangle \rangle q; \langle \langle b \rangle \rangle \square \langle \langle b \rangle \rangle r$  的 BCG

图 8 中的最简 BCG 不为空,所以公式  $p; \langle \langle a \rangle \rangle \square \langle \langle a \rangle \rangle q; \langle \langle b \rangle \rangle \square \langle \langle b \rangle \rangle r$  是可满足的.



通过检查化简后的 BCG 是否为空,来判断对应的 APTL 公式的可满足性.检查任意一个 APTL 公式的可满足性过程如算法 CHECK 所示,其中,函数 LNFG 构造 APTL 公式 P 的 LNFG,函数 TR 将公式的 LNFG 转化为 GBCG,函数 BCG 将公式的 GBCG 转化为 BCG,函数 SIMPLIFY 对生成的 BCG 进行化简.

CHECK(P).

输入:APTL 公式 P;

输出:公式 P 是否可满足.

G=LNFG(P); /\*构造公式 P 的 LNFG G\*/

GB=TR(G); /\*将 LNFG G 转化为 GBCG GB\*/

BCG(GB,B); /\*将 GBCG GB 转化为 BCG B\*/

G'=SIMPLIFY(B);

if G' 为空

return 不可满足;

else return 可满足;

### 3 工具展示

#### 3.1 实例展示

本节通过检查哲学家就餐问题需要满足性质的可满足性,展示工具 APTL2BCG 的工作效果.哲学家围坐在一张圆桌旁,每人面前各摆放一碗面条,每两位哲学家之间只摆放一支筷子,哲学家的行为是反复地吃饭和思考.当哲学家饥饿时,他必须能够同时拿起左、右两支筷子才能吃到面条,餐后放下两支筷子继续考虑.i 是哲学家的编号(比如有 5 位哲学家,那么  $1 \leq i \leq 5$ ),每个哲学家存在以下 5 种状态:哲学家 i 思考表示为 i\_Thk,哲学家 i 处于饥饿状态表示为 i\_Hug,哲学家 i 拿筷子表示为 i\_Tch,哲学家 i 吃饭表示为 i\_Eat,哲学家 i 放下筷子表示为 i\_Pch.哲学家的行为构成循环,依次是思考、感觉到饥饿后准备拿筷子、当两边的筷子都闲置的时候拿起筷子、接着吃饭、吃完后放下筷子,继续思考,依次循环下去.

哲学家 i 总能吃到面条,不会出现一直饥饿的情况用 APTL 公式表示为  $\square_{\langle 1 \rangle} \diamond_{\langle 1 \rangle} i\_Eat$ .以哲学家 1 为例,用工具 APTL2BCG 检查公式  $\square_{\langle 1 \rangle} \diamond_{\langle 1 \rangle} 1\_Eat$  的可满足性,为了使输出的 BCG 简单明了,令  $p=i\_Eat$ ,将公式  $\square_{\langle 1 \rangle} \diamond_{\langle 1 \rangle} p$  输入,得出的最简 BCG 如图 9 所示,BCG 不为空,表示公式  $\square_{\langle 1 \rangle} \diamond_{\langle 1 \rangle} 1\_Eat$  是可满足的.

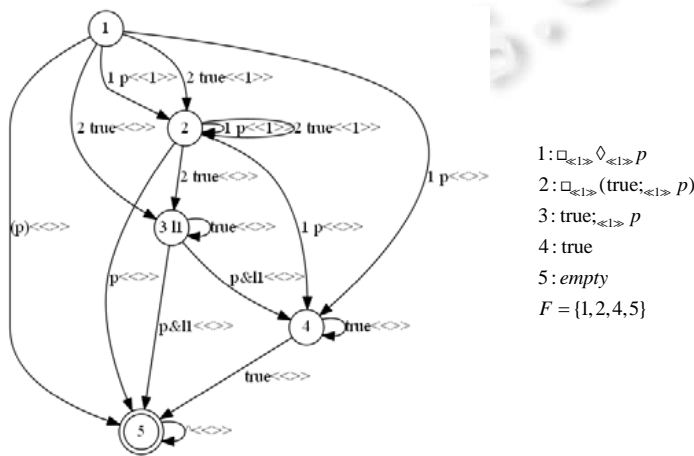


Fig.9 BCG of formula  $\square_{\langle 1 \rangle} \diamond_{\langle 1 \rangle} p$

图 9 公式  $\square_{\langle 1 \rangle} \diamond_{\langle 1 \rangle} p$  的 BCG

哲学家在吃面条后需要放下筷子接着再思考,以免相邻的哲学家拿不到筷子.以哲学家 1 为例,哲学家 1 吃完面条就放下筷子用 APTL 公式表示为: $\square_{\langle \emptyset \rangle} (fin(1\_Eat);_{\langle 1 \rangle} \bigcirc_{\langle 1 \rangle} 1\_Pch)$ .令  $p$  代表  $1\_Eat$ ,  $q$  代表  $1\_Pch$ ,检查公式  $\square_{\langle \emptyset \rangle} (fin(p);_{\langle 1 \rangle} \bigcirc_{\langle 1 \rangle} q)$  的可满足性.将公式  $[\langle \emptyset \rangle] (\langle 1 \rangle (fin(p);_{\langle 1 \rangle} \langle \langle 1 \rangle \rangle \langle \langle 1 \rangle \rangle q))$  输入到工具 APTL2BCG 中,得到如图 10 所示的 BCG,表明公式  $\square_{\langle \emptyset \rangle} (fin(1\_Eat);_{\langle 1 \rangle} \bigcirc_{\langle 1 \rangle} 1\_Pch)$  是可满足的.

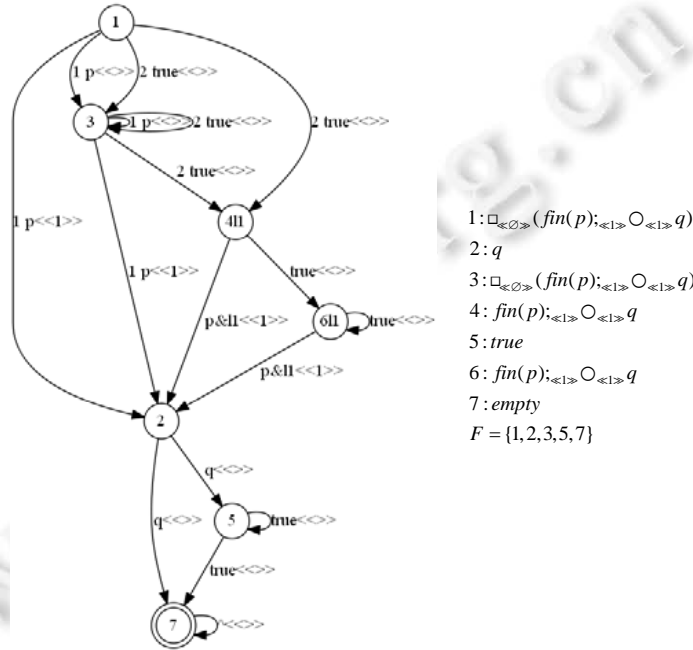


Fig.10 BCG of formula  $\square_{\langle \emptyset \rangle} (fin(p);_{\langle 1 \rangle} \bigcirc_{\langle 1 \rangle} q)$   
 图 10 公式  $\square_{\langle \emptyset \rangle} (fin(p);_{\langle 1 \rangle} \bigcirc_{\langle 1 \rangle} q)$  的 BCG

### 3.2 实验与分析

本节通过检查 3 类 APTL 公式的可满足性,展示工具 APTL2BCG 的实用性和工作效率.对以下 3 类公式进行可满足性检查:

$$len(n) \wedge \diamond_{\langle A \rangle} P \tag{1}$$

$$\diamond_{\langle A1 \rangle} P_1;_{\langle A \rangle} \diamond_{\langle A2 \rangle} P_2;_{\langle A \rangle} \dots;_{\langle A \rangle} \diamond_{\langle An \rangle} P_n \tag{2}$$

$$(P_1, \dots, P_n) prj_{\langle A \rangle} Q \tag{3}$$

我们用工具 APTL2BCG 检查以上 3 类公式的可满足性,其中,

- 路径  $\lambda$  满足公式(1)当且仅当智能体集合  $A$  的策略使得  $\lambda[i]=p(0 \leq i \leq n)$  成立;
- 路径  $\lambda$  满足公式(2)当且仅当智能体  $A$  的策略使得公式  $\diamond_{\langle A1 \rangle} P_1, \diamond_{\langle A2 \rangle} P_2, \dots, \diamond_{\langle An \rangle} P_n$  在路径上顺序成立,其中,  $\diamond_{\langle A1 \rangle} P_1$  表示智能体  $A_1$  的策略使得  $P_1$  在区间内可满足;
- 路径  $\lambda$  满足公式(3)当且仅当智能体集合  $A$  的策略使得性质  $P_1, P_2, \dots, P_n$  依次在路径上成立,并且使得性质  $Q$  成立,公式  $P_1;_{\langle A \rangle} P_2;_{\langle A \rangle} \dots;_{\langle A \rangle} P_n$  与公式  $Q$  是相对独立的,他们的模型是并行的只是在特定的汇合点通信.

实验环境为 2.93GHz, Intel(R) Core(TM) i7 CPU 870, 8G 内存 PC. 实验结果见表 1. 在表 1 中,

- 第 1 列表示公式中  $n$  的大小;
- 节点数和边数所在列分别表示生成的相应公式的 BCG 的节点数和边数,单位为个;
- 内存所在列表示程序运行时占用的内存,单位为 kb;

- 时间所在列表示判断公式的可满足性所需时间,单位为 s.

**Table 1** Experimental results**表 1** 实验结果

$n$	F.(1)				F.(2)				F.(3)			
	节点数	边数	内存	时间	节点数	边数	内存	时间	节点数	边数	内存	时间
0	2	2	1 792	0.04	–	–	–	–	4	5	1 824	0.09
1	4	4	1 824	0.09	6	9	1 828	0.1	4	5	1 832	0.11
2	6	7	1 844	0.23	10	20	1 988	0.5	8	13	1 920	0.39
3	8	10	1 872	0.34	14	35	2 408	1.26	13	27	2 208	1.33
4	10	13	1 920	0.50	18	54	3 328	3.141	18	45	2 848	2.92
5	12	16	1 988	0.69	22	77	5 028	5.92	23	67	3 976	5.722
6	14	19	2 044	0.87	26	104	7 704	11.811	29	93	5 808	11.378
7	16	22	2 136	1.22	30	135	12 136	28.657	34	123	8 672	15.009
8	18	25	2 256	1.54	34	170	18 292	110.32	38	157	12 720	35.333
9	20	28	2 416	2.02	38	209	27 152	689.233	43	195	18 504	169.63
10	22	31	2 584	2.415	42	252	39 340	5 055.91	48	237	26 512	1 054.2

表 1 的实验结果显示: $n$  的取值在一定范围时,此 3 类公式随着  $n$  的增大,生成的 BCG 的节点数、边数和所用内存空间都是线性增长.对于公式(2)和公式(3),随着公式中  $n$  的增大增长迅速.

但是实验结果看,工具 APTL2BCG 的实际应用效果比较好,有较好的实用性.

#### 4 结 论

APTL 作为一种语法简洁、表达能力强的逻辑,其可用于规约多智能体系统的性质.APTL 公式的可满足性检查是系统验证的前提,本文开发了 APTL 公式的可满足性检查工具 APTL2BCG.检查过程是:首先,利用 APTL 公式的范式、LNFG 以及 GBCG 构造公式的 BCG;然后,化简 BCG 并检查其是否为空,得出公式是否可满足.

此外,本文通过实验展示了 APTL2BCG 在实践中的可用性和实用性.未来将进一步优化检查工具 APTL2BCG,并在此基础上开发基于 BCG 的 APTL 模型检测工具.

#### References:

- [1] Tian C, Duan ZH. Alternating interval based temporal logics. In: Proc. of the ICFEM. 2010. 694–709. [doi: 10.1007/978-3-642-16901-4\_45]
- [2] Duan ZH. Temporal Logic and Temporal Logic Programming. Beijing: Science Press, 2005.
- [3] Wang HY, Duan ZH, Tian C. Symbolic model checking for alternating projection temporal logic. In: Proc. of the COCOA. 2015. 481–495. [doi: 10.1007/978-3-319-26626-8\_35]
- [4] Duan ZH, Tian C, Zhang L. A decision procedure for propositional projection temporal logic with infinite models. Acta Informatica, 2008,45(1):43–78. [doi: 10.1007/s00236-007-0062-z]
- [5] Baier C, Katoen JP. Principles of Model Checking. Cambridge: MIT Press, 2008.
- [6] Duan ZH, Tian C. A practical decision procedure for propositional projection temporal logic with infinite models. Theoretical Computer Science, 2014,554:169–190. [doi: 10.1016/j.tcs.2014.02.011]
- [7] Alur R, Henzinger TA, Kupferman O. Alternating-Time temporal logic. JACM, 2002,49:672–713. [doi: 10.1145/585265.585270]
- [8] Schewe S, Finkbeiner B. Satisfiability and finite model property for the alternating-time Mu-calculus. In: Proc. of the CSL. 2006. 591–605. [doi: 10.1007/11874683\_39]
- [9] <http://www.cmi.ac.in/~kumar/words/lecture06.pdf>
- [10] Manna Z, Sipma H. Alternating the Temporal Picture for Safety. In: Proc. of the ICALP. 2000. 429–450. [doi: 10.1007/3-540-45022-X\_37]
- [11] Gastin P, Oddoux D. Fast LTL to Buchi Automata Translation. In: Proc. of the CAV. 2001. 53–65. [doi: 10.1007/3-540-44585-4\_6]



王海洋(1989—),女,山东聊城人,博士,CCF学生会员,主要研究领域为时序逻辑,模型检测.



田聪(1981—),女,博士,教授,博士生导师,主要研究领域为形式化方法,时序逻辑,模型检测.



段振华(1948—),男,博士,教授,博士生导师,主要研究领域为网络计算,高可信软件理论和技术.

www.jos.org.cn

www.jos.org.cn